



HUBUNGAN FASIES PENGENDAPAN BATUPASIR FORMASI “FZ” TERHADAP PROSPEK HIDROKARBON PADA LAPANGAN “PETRA” CEKUNGAN SUMATERA TENGAH

Muhammad Faza Qinthara^{1*}, Ildrem Syafri¹, Nanda Natasia¹, Herlina Rachman², Ronny Krisnandar²

¹ Fakultas Teknik Geologi, Universitas Padjadjaran

²PT. Pertamina Hulu Rokan

*Email Korepondensi: mfazaqin@gmail.com

ABSTRAK

Lapangan “PETRA” merupakan salah satu lapangan yang terletak di Cekungan Sumatra Tengah, Provinsi Riau yang berada pada Wilayah Kerja Blok Rokan milik PT. Pertamina Hulu Rokan. Penelitian bertujuan untuk mengetahui hubungan fasies pengendapan batupasir Formasi “FZ” terhadap prospek hidrokarbon pada Lapangan “PETRA” Cekungan Sumatera Tengah. Penentuan asosiasi fasies dan lingkungan pengendapan dilakukan dengan menggunakan data batuan inti yang dikalibrasi dengan pendekatan analisis elektrofasies. Menurut gabungan data batuan inti, studi literatur, fasies lingkungan pengendapan, sistem lingkungan pengendapan di Lapangan “PETRA” berada pada lingkungan *fluvial*. Berdasarkan analisis petrofisika, nilai penggal pada lapangan penelitian menghasilkan nilai 34,2% untuk kandungan serpih, 9,1% untuk porositas efektif, dan 80% untuk saturasi air. Berdasarkan asosiasi fasies dan sifat fisik batuan pada Lapangan “PETRA”, Zona hidrokarbon terbesar yang menjadi prospek di Lapangan “PETRA” terdapat pada interval FZ_3, FZ_5 dan FZ_4 yang mempunyai litologi batupasir tebal dengan porositas 13,6% – 19,6%. Terdapat 4 fasies pengendapan yang berkembang pada Formasi “FZ” di Lapangan “PETRA”, fasies pengendapan *fluvial channel* dan *fluvial point bar* menjadi fasies pengendapan dengan prospek hidrokarbon yang baik sementara fasies pengendapan *crevasse splay* dan *fluvial floodplain* menjadi fasies pengendapan dengan prospek hidrokarbon yang buruk.

Kata Kunci: Reservoir, Analisis Petrofisika, Zona Hidrokarbon, Fasies Pengendapan.

ABSTRACT

“PETRA” field is one of the fields located in the Central Sumatra Basin, Riau Province, which is located in the Rokan Block Working Area owned by PT. Pertamina Hulu Rokan. This study was aimed to determine the relationship between sandstone depositional facies with the hydrocarbon prospects in the “PETRA” Field, “FZ” Formation, Central Sumatra Basin. Determination of facies association and depositional environment was carried out by electrofacies analysis approach calibrated with lithology data from core description. According to the combination of core data, literature studies, and depositional environment facies the “PETRA” Field was developed in the fluvial environment. Based on petrophysical analysis, the cut-off value are 34.2% for shale volume, 9.1% for effective porosity, and 80% for water saturation. Based on the facies association and physical properties the best reservoir zone are FZ_3, FZ_5 and FZ_4 which have thicker compared to other with porosity from 13.6% - 19.6%. There are 4 sedimentary facies that developed in the “FZ” Formation at “PETRA” Field; the fluvial channel and fluvial point bar which are a good hydrocarbon prospects; the crevasse splay and fluvial floodplain which are poor hydrocarbon prospects.

Keywords: Reservoir, Petrophysical Analysis, Hydrocarbon Zone, Depositional Facies.

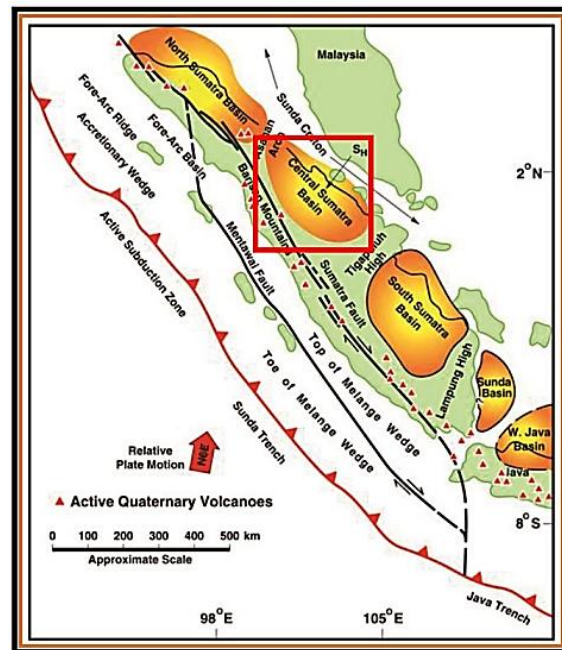
PENDAHULUAN

Menurut Walker (1992), fasies merupakan kenampakan suatu tubuh yang dikarakterisasikan oleh kombinasi dari litologi, struktur fisik, dan biologi yang merupakan aspek pembeda dari tubuh batuan diatas, dibawah ataupun disampingnya. Interpretasi fasies dan lingkungan pengendapan mencakup identifikasi dan asosiasi fasies data dari log sumur untuk merekonstruksi peta lingkungan pengendapan, hal ini dapat membantu dalam mengidentifikasi potensi reservoir dan karakteristik litologi yang berkontribusi terhadap pengelolaan sumber daya pada suatu cekungan secara efektif (Muflikhah, 2023).

Cekungan Sumatra Tengah merupakan salah satu cekungan penyumbang hidrokarbon terbesar di Indonesia (SKK MIGAS, 2023) yang terletak di busur belakang di Pulau Sumatra (Gambar 1). Struktur dan stratigrafinya terbentuk pada periode Pra-Tersier hingga sekarang (Nainggolan dkk., 2021).

Telah banyak publikasi yang membahas tentang lingkungan pengendapan pada cekungan Sumatera Tengah, diantaranya (Dawson, 2011; Utama, 2021; Andriyani, 2022; dan Longley, 2021) dan juga membahas tentang prospek hidrokarbon pada Cekungan Sumatera Tengah (Sudarman, 2021; Schenk, 2015; dan Arif, 2022). akan tetapi, masih sedikit publikasi yang mengaitkan lingkungan pengendapan dengan prospek hidrokarbon. Studi ini membahas tentang hubungan fasies lingkungan pengendapan serta properti petrofisika terhadap prospek hidrokarbon

yang berapa pada Lapangan “PETRA” yang merupakan lapangan hidrokarbon yang berada pada Cekungan Sumatra Tengah dan berada pada wilayah kerja milik PT. Pertamina Hulu Rokan.



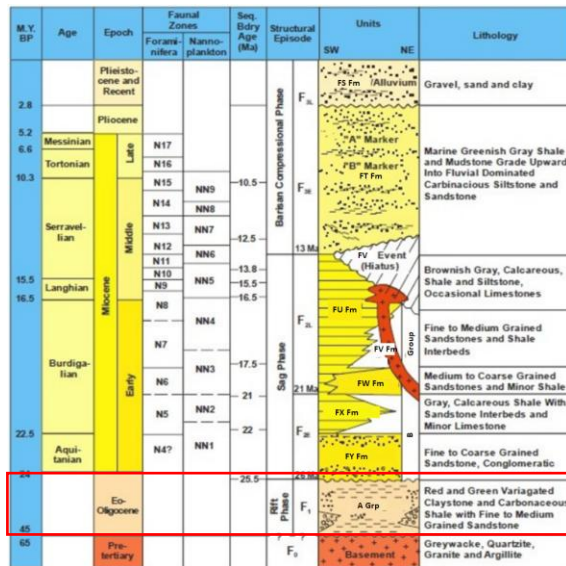
Gambar 1. Fisiografi Regional Pulau Sumatera (Heidrick dan Aulia, 1993)

GEOLOGI REGIONAL CEKUNGAN SUMATERA TENGAH

Pembentukan Cekungan Sumatera Tengah berlangsung sejak zaman Kapur – Tersier Awal sedangkan proses sedimentasi dan pengisian cekungan dimulai sejak Tersier Awal (Eubank & Makki, 1981). Stratigrafi regional pada Cekungan Sumatera Tengah dibagi menjadi lima unit stratigrafi (Heidrick & Aulia, 1993) yakni: batuan dasar, Kelompok A, Kelompok B, Formasi FS dan Formasi FR (**Gambar 2**).

Objek penelitian berada pada Formasi “FZ” yang termasuk dalam Kelompok “A”. Formasi “FZ” tersusun oleh batupasir

berukuran halus – sedang dengan keterdapatannya kerakal dan serpih (Heidrick & Aulia, 1993). Formasi ini berumur Eosen – Oligosen yang diendapatkan pada lingkungan fluvial pada fase *syn-rift* (Heidrick & Aulia, 1993). Ketebalan seluruh formasi ini pada data kami mencapai kurang lebih 4000 ft.



Gambar 1. Stratigrafi Regional Cekungan Sumatra Tengah (Heidrick & Aulia, 1993), kolom berwarna merah merupakan interval penelitian

DATA DAN METODOLOGI

Korelasi antar sumur dilakukan dengan menggunakan kurva log gamma ray, pada tahap ini 12 interval kronostatigrafi didapatkan. Setelah itu analisis elektrofasies dengan menggunakan pola kurva gamma ray yang dikalibrasi oleh laporan deskripsi dan litologi. Pembagian elektrofasies dilakukan dengan metode log standar menurut (walker, 1992), analisis petrofisika meliputi

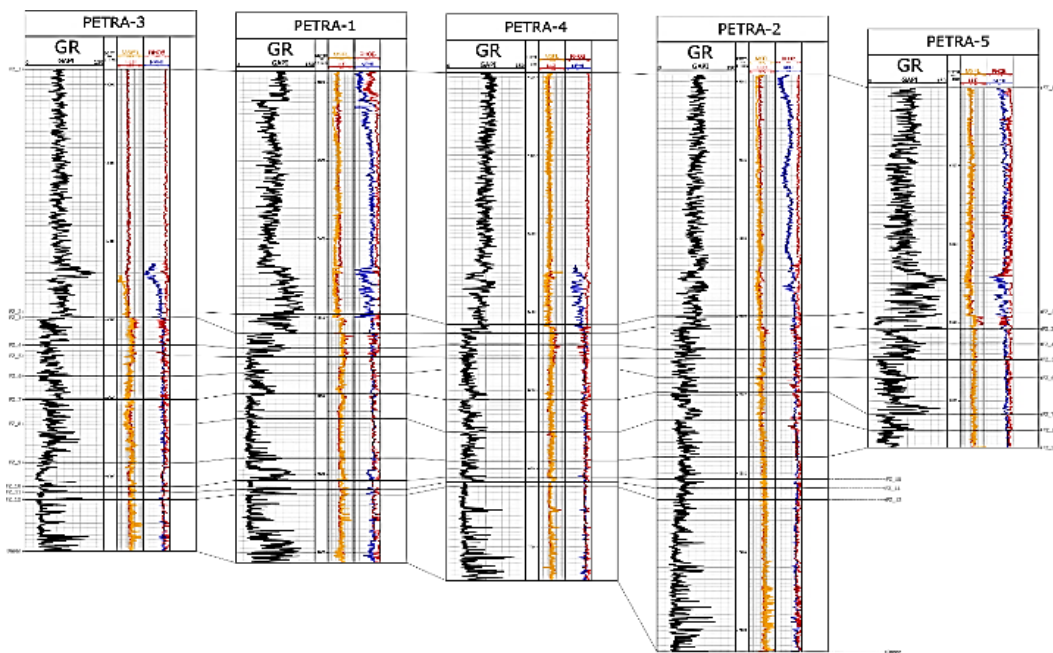
perhitungan volume serpih, porositas, dan saturasi air yang dilakukan dengan standar metodologi oleh (Asquith dkk, 1982), permeabilitas menggunakan regresi linear sederhana yang dilakukan oleh (Aljuboori, 2021; Harjumi, 2021; dan Lu, 2022). Setelah asosiasi fasies dan lingkungan pengendapan didapatkan, hubungan antara fasies pengendapan dan zona prospek hidrokarbon di interpretasi.

Data yang digunakan dalam penelitian ini meliputi:

- A. Data log sumur : data log gamma ray, data log resistivitas, data log densitas, dan data neutron pada 5 sumur lapangan penelitian.
- B. Laporan data geologi : *Side Wall Core* (SWC) pada sumur Petra-1, Laporan lumpur pengeboran pada sumur Petra-1, *Routine Core Analysis* (RCA) yang berisikan data kedalaman, permeabilitas horizontal dan vertikal, porositas, saturasi minyak, saturasi air, densitas butir dan deskripsi di kedalaman tertentu pada sumur Petra-3 dan Petra-4.

HASIL KORELASI ANTAR SUMUR

Korelasi antar sumur pada penelitian ini dilakukan pada interval Formasi "FZ" yang bagian puncaknya dibatasi oleh *marker* puncak Formasi "FZ" yang dibagi kedalam 12 daerah interval (**Gambar 3**). *Marker-marker* tersebut ditentukan dengan melihat keberadaan lapisan shale (*shale break*) karena bisa menandakan kesamaan waktu pengendapan.



Gambar 2. Korelasi sumur pada Lapangan "PETRA" berarah *arbitrary*. Kurva gamma ray (berwarna hitam) menunjukkan pola yang seragam pada 5 sumur Lapangan "PETRA", kurva resistivitas (berwarna merah dan oranye pada kolom 2) serta densitas (merah pada kolom 3) dan NPHI (biru) juga disertakan untuk membantu korelasi.

FAISES

Litofasies

Litofasies pada penelitian ini terbagi menjadi litofasies batupasir dan litofasies batulempung. (**Gambar 4**)

Elektrofasies

Interpretasi elektrofasies menggunakan pola dari data *gamma ray*. Elektrofasies pada penelitian ini terbagi menjadi 4 elektrofasies (**Gambar 4**) yang terbagi menjadi :

A. Cylindrical

Bentuk *Cylindrical* ditandai dengan garis lurus berwarna merah yang ditemui pada interval FZ_3, FZ_6, dan FZ_7 (**Gambar 4**).

B. Funnel

Bentuk *funnel* dicirikan dari perubahan nilai log *gamma ray* dari kecil menjadi besar

yang ditemui pada interval FZ_3, FZ_5, FZ_6, dan FZ_7 (**Gambar 4**)

C. Bell

Bentuk *bell* dicirikan dari perubahan nilai log *gamma ray* dari besar menjadi kecil yang terdapat pada interval FZ_3, FZ_4, FZ_5, dan FZ_6 (**Gambar 4**)

D. Serrated

Pola *serrated* ditandai dengan garis bergerigi. Fasies ini terdapat pada interval FZ_6 (**Gambar 4**)

Asosiasi Fasies

Asosiasi fasies pada penelitian ini terbagi menjadi 4 asosiasi fasies (**Gambar 4**) yang terbagi menjadi:

A. SPS (*Shale-Pebble Sandstone*)

Asosiasi fasies SPS (*Shale-Pebble Sandstone*) memiliki litofasies dominan batupasir dengan bentuk elektrofasies *cylindrical* dan memiliki deskripsi litologi

dominan batupasir dengan keterdapatannya serpih dengan ukuran butir lempung — kerakal.

B. CSS (*Coarsening Shale Sandstone*)

Asosiasi fasies CSS (*Coarsening Shale Sandstone*) memiliki litofasies dominan batupasir dengan bentuk elektrofasies *funnel* dan memiliki deskripsi litologi dominan batupasir dengan keterdapatannya serpih dengan ukuran butir lempung – kerakal.

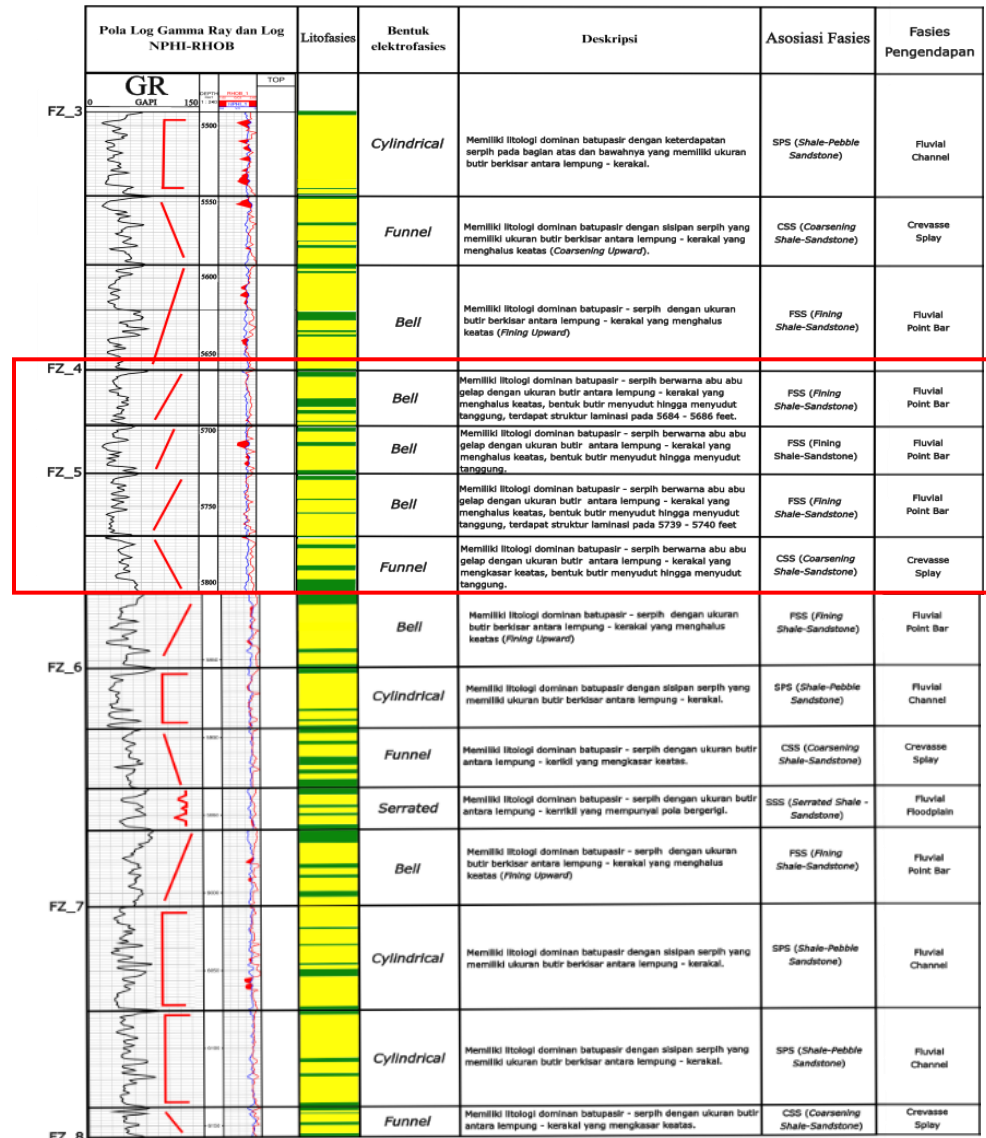
C. FSS (*Fining Shale-Sandstone*)

Asosiasi fasies FSS (*Fining Shale-*

Sandstone) memiliki litofasies dominan batupasir dengan bentuk elektrofasies *bell* dan memiliki deskripsi litologi dominan batupasir dengan keterdapatannya serpih dengan ukuran butir lempung – kerakal.

D. SSS (*Serrated Shale-Sandstone*)

Asosiasi fasies SSS (*Serrated Shale-Sandstone*) memiliki litofasies batupasir dan batulempung dengan bentuk elektrofasies *serrated* dan memiliki deskripsi litologi batupasir dan serpih dengan ukuran butir lempung – kerikil dengan pola bergerigi.



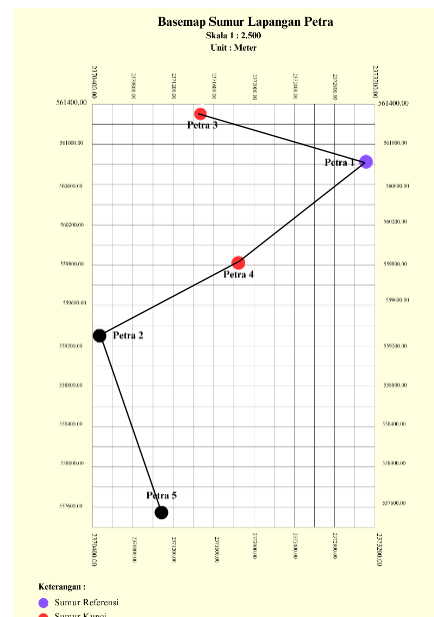
Gambar 3 Litofasies, Elektrofasies, Deskripsi, Asosiasi fasies, dan fasies pengendapan sumur PETRA-3. Kotak berwarna merah adalah interval dengan keterdapatannya data RCA (Routine Core Analysis)

Korelasi Fasies

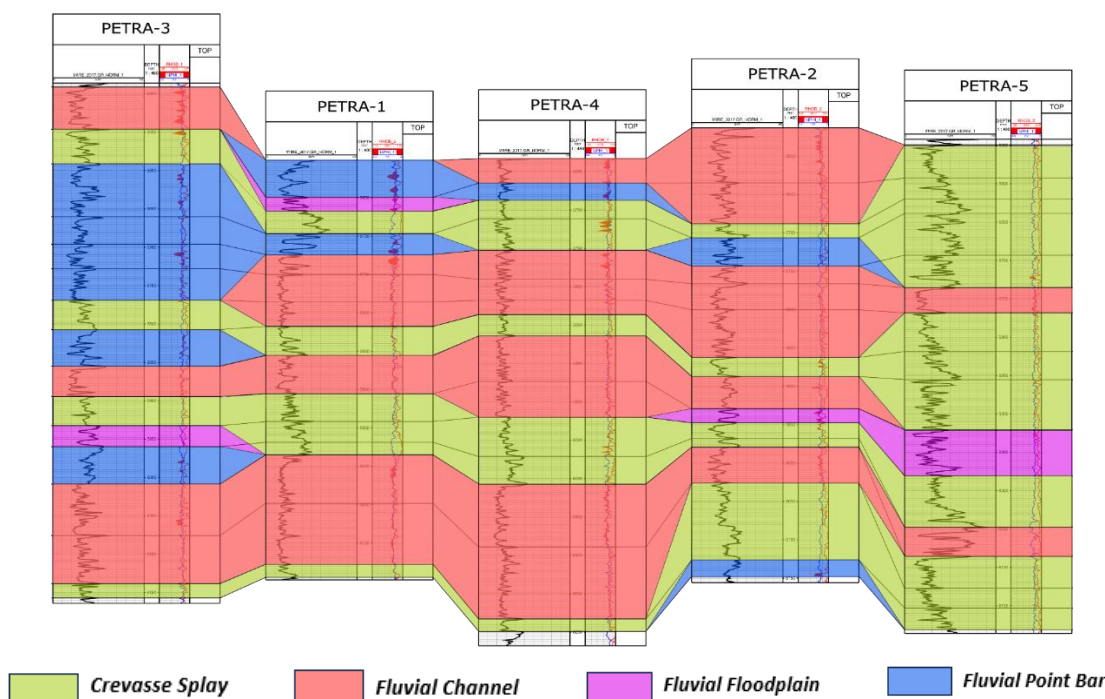
Lintasan untuk korelasi sumur di Lapangan “PETRA” menghubungkan seluruh sumur dengan arah *orbital* (**Gambar 5**).

Dari korelasi fasies pengendapan dapat diinterpretasikan sumber sedimen bersumber dari arah utara dikarenakan pada fasies yang sama dengan interval yang sama, nilai data *gamma ray* semakin membesar ke arah Selatan yang menandakan sudah sedikitnya sedimen yang terendapkan serta besar arus yang mengecil yang mengakibatkan lempung mulai terendapkan pada bagian Selatan.

Fasies pengendapan dapat ditentukan dengan melihat asosiasi atau persebaran dari bentuk fasiesnya. Hal tersebut dapat dilihat melalui korelasi fasies pada **Gambar 6**.



Gambar 4. Lintasan Korelasi Fasies Lapangan Penelitian



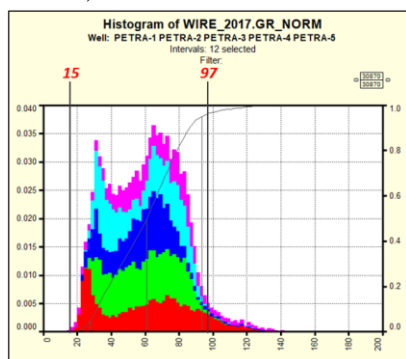
Gambar 5. Korelasi Fasies Lintasan

ANALISIS PETROFISIKA

Perhitungan petrofisika dilakukan pada 5 sumur dengan menggunakan sumur Petra-3 dan Petra-4 sebagai sumur kunci, karena kedua sumur ini yang memiliki data RCA. Dalam penerapannya, penulis menggunakan beberapa pendekatan metode, hal ini dilakukan untuk mendapatkan nilai properti reservoir yang mendekati nilai pada data RCA. Properti reservoir yang dihitung dalam studi ini meliputi:

- **Volume Serpih (Vsh)**

Untuk penentuan nilai GRmin dan GRmax, dilakukan *plotting* pada histogram data *gamma ray* dari kelima sumur. (**Gambar 12**)



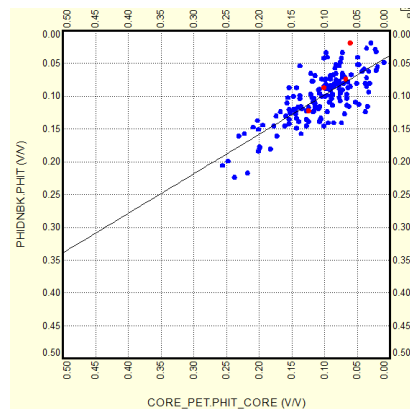
Gambar 6. Plot nilai gr matriks (nilai 15) dan gr shale (nilai 97) pada log gamma ray, perbedaan warna pada kurva menggambarkan data dari setiap sumur

Pada histogram dari gamma ray tersebut dapat dilihat nilai untuk GR matrix yaitu sebesar 15 GAPI dan untuk GR shale diambil nilainya tengah – tengah dari pola *slope* dari puncak shalenya, yaitu sebesar 97 GAPI. Hasil dari kandungan serpih akan berupa persentase yang berkisar dari 0 sampai 1 (0%-100%).

- **Porositas**

Perhitungan porositas pada lapangan

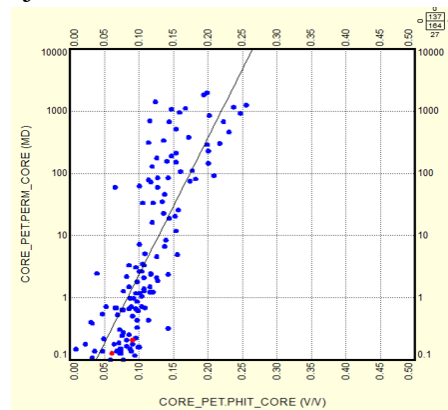
"PETRA" menggunakan metode *density neutron* yang dikorelasikan dengan perhitungan porositas dari data *core*, hasil korelasi antara perhitungan menggunakan metode *density neutron* dengan data *core* sebesar 77%.



Gambar 7. Crossplot antara PHIT perhitungan dan PHIT core dengan menggunakan metode *density neutron* (kanan)

- **Permeabilitas**

Persamaan linear didapatkan berdasarkan hasil *crossplot* antara PHIT core dengan permeabilitas *core* yang ditunjukkan pada **Gambar 5**. Pada penelitian ini, nilai koefisien korelasi pada hasil statistiknya menunjukkan nilai 0.8.

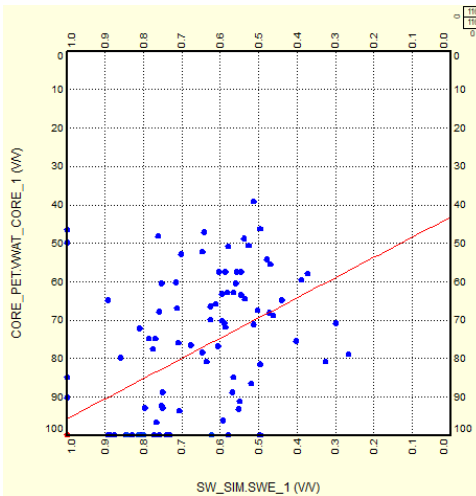


Gambar 8. Crossplot PHIT core dan permeabilitas core dengan koefisien korelasi 0,8 beserta persamaan linear

Persamaan linear pada **Gambar 9** dijadikan referensi untuk menghitung permeabilitas pada semua sumur di Lapangan “PETRA” yang divalidasi melalui *crossplot* antara log permeabilitas hasil perhitungan dengan permeabilitas batuan inti.

- Saturasi Air

Perhitungan saturasi air pada lapangan “PETRA” menggunakan metode simandoux yang dikorelasikan dengan perhitungan *volume water* dari data *core*. hasil korelasi antara perhitungan menggunakan metode simandoux dengan data *volume water core* sebesar 55%.

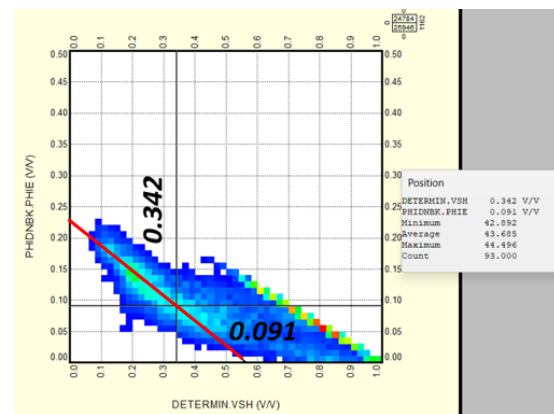


Gambar 9. Crossplot antara saturasi air perhitungan dan volume water core menggunakan metode simandoux

- Nilai Penggal

Setelah melakukan perhitungan dari parameter petrofisika, diperlukan nilai sebagai ambang batas untuk analisis lebih lanjut atau nilai penggal dari masing-masing parameternya. Adapun beberapa parameter yang dimaksud adalah kandungan serpih,

porositas, dan saturasi air. Penentuan nilai penggal untuk kandungan serpih dan porositas dilakukan dengan menggunakan metode *crossplot* (**Gambar 11**). Nilai penggal volume serpih yaitu 34,2%. nilai penggal porositas yaitu 9,1%, sementara untuk saturasi air (S_w) menggunakan nilai tetapan 80% (kebiasaan operator produksi) dikarenakan tidak adanya data DST.



Gambar 10 Penentuan nilai penggal pada lapangan “PETRA” garis merah menandakan gradien frekuensi data, garis hitam horizontal menandakan nilai penggal dari volume serpih dan garis hitam vertikal menandakan nilai penggal dari porositas.

- Lumping atau Pembungkalan

Lumping digunakan untuk mendapatkan zona *net sand*, *net reservoir*, dan *net pay*. Data yang ditandai warna hijau adalah zona yang lolos dari penentuan nilai penggal. Zona tersebut yang akan disebut sebagai *pay zone*. Pada Petra-1 terdapat 9 *pay zone*, Petra-2 terdapat 3 *pay zone*, Petra-3 terdapat 3 *pay zone*, Petra-4 terdapat 6 *pay zone* dan Petra-5 terdapat 3 *pay zone*. (**Tabel 1**)

Tabel 1. Tabulasi data hasil lumping Lapangan "PETRA"

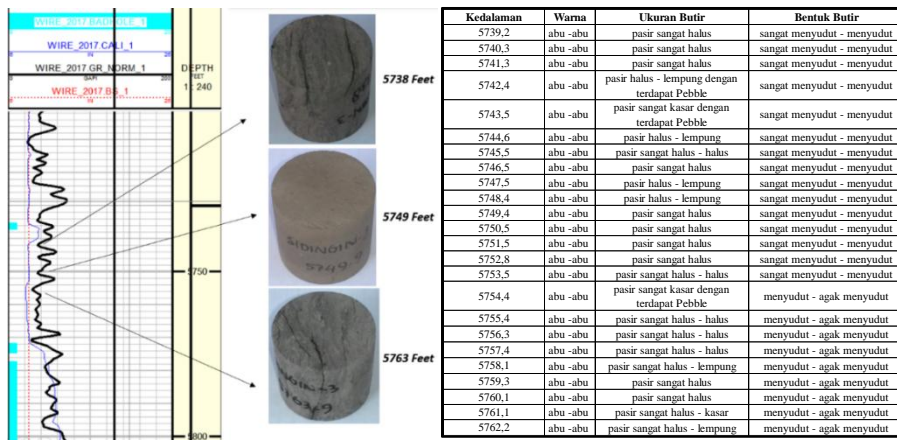
Sumur	Interval	Top	Bottom	Gross (Feet)	Pay						Reservoir			
					NetPay	Net to NetRes	Vsh	PHIE	Permeability	SW	NetRes	Net to Gross	Vsh	PHIE
Petra 1	FZ_1	3.929	5.478	1.549	3	0,461538462	0,286	0,151	33,508	0,699	6,5	0,004	0,277	0,164
	FZ_2	5478	5601	123	6,5	1	0,272	0,185	1676,388	0,273	6,5	0,053	0,272	0,185
	FZ_3	5601	5696	95	40	1	0,226	0,154	5494,16	0,381	40	0,389	0,211	0,156
	FZ_4	5696	5752	56	33,75	1	0,221	0,163	6365,395	0,346	33,75	0,5	0,177	0,171
	FZ_5	5752	5856	104	65,75	0,720547945	0,159	0,196	1247,831	0,394	91,25	0,877	0,157	0,194
	FZ_6	5856	5986	130	5	0,07518797	0,274	0,144	23,883	0,698	66,5	0,512	0,209	0,156
	FZ_7	5986	6148	162	50,5	0,348275862	0,176	0,173	729,272	0,485	145	0,895	0,163	0,178
	FZ_8	6148	6396	248	4	0,017877095	0,139	0,194	959,869	0,743	223,75	0,902	0,15	0,161
	FZ_9	6396	6540	144	-	-	-	-	-	-	53	0,368	0,142	0,159
	FZ_10	6540	6596	56	-	-	-	-	-	-	41,5	0,741	0,168	0,179
	FZ_11	6596	6632	36	-	-	-	-	-	-	11	0,306	0,204	0,134
	FZ_12	6632	7066	434	25,25	0,116359447	0,241	0,136	49,967	0,715	217	0,5	0,16	0,158
Petra 2	FZ_1	3.956	5.494	1.538	-	-	-	-	-	-	3	0,002	0,3	0,123
	FZ_2	5.494	5.563	69	-	-	-	-	-	-	-	-	-	-
	FZ_3	5.563	5.707	144	14,5	0,966666667	0,258	0,167	689,434	0,356	15	0,104	0,259	0,165
	FZ_4	5.707	5.769	62	-	-	-	-	-	-	-	-	-	-
	FZ_5	5.769	5.887	118	19	0,678571429	0,284	0,134	79,759	0,634	28	0,237	0,263	0,138
	FZ_6	5.887	5.979	92	-	-	-	-	-	-	6,5	0,071	0,245	0,161
	FZ_7	5.979	6.156	177	-	-	-	-	-	-	21	0,119	0,26	0,137
	FZ_8	6.156	6.392	236	-	-	-	-	-	-	52,5	0,222	0,286	0,144
	FZ_9	6.392	6.537	145	-	-	-	-	-	-	-	-	-	-
	FZ_10	6.537	6.594	57	-	-	-	-	-	-	-	-	-	-
	FZ_11	6.594	6.666	72	-	-	-	-	-	-	-	-	-	-
	FZ_12	6.666	7.638	972	53	0,123543124	0,256	0,111	8,162	0,724	429	0,441	0,227	0,121
Petra 3	FZ_1	3.901	5.449	1.548	-	-	-	-	-	-	-	-	-	-
	FZ_2	5.449	5.486	37	-	-	-	-	-	-	-	-	-	-
	FZ_3	5.486	5.661	175	67,5	1	0,265	0,151	1090,902	0,39	67,5	0,314	0,237	0,159
	FZ_4	5.661	5.730	69	30,5	1	0,276	0,136	559,369	0,524	30,5	0,406	0,257	0,139
	FZ_5	5.730	5.858	128	32	0,842105263	0,305	0,127	99,835	0,573	38	0,223	0,257	0,139
	FZ_6	5.858	6.009	151	-	-	-	-	-	-	24	0,159	0,238	0,145
	FZ_7	6.009	6.164	155	-	-	-	-	-	-	22,5	0,145	0,273	0,122
	FZ_8	6.164	6.410	246	-	-	-	-	-	-	38,5	0,157	0,248	0,111
	FZ_9	6.410	6.564	154	-	-	-	-	-	-	108,5	0,705	0,176	0,156
	FZ_10	6.564	6.598	34	-	-	-	-	-	-	20,5	0,603	0,211	0,146
	FZ_11	6.598	6.647	49	-	-	-	-	-	-	35	0,714	0,197	0,141
	FZ_12	6.647	6.978	331	-	-	-	-	-	-	216,5	0,654	0,195	0,141
Petra 4	FZ_1	3.973	5.578	1605	8	0,761904762	0,323	0,142	60,568	0,506	10,5	0,007	0,299	0,144
	FZ_2	5.578	5.633	55	7,5	1	0,242	0,194	30375,392	0,398	7,5	0,136	0,242	0,194
	FZ_3	5.633	5.711	78	61,25	1	0,292	0,136	465,527	0,494	61,25	0,673	0,276	0,14
	FZ_4	5.711	5.791	80	48,25	1	0,266	0,154	12721,535	0,459	48,25	0,487	0,232	0,163
	FZ_5	5.791	5.864	73	21	0,488372093	0,241	0,138	167,587	0,589	43	0,589	0,256	0,13
	FZ_6	5.864	6.059	195	-	-	-	-	-	-	84,5	0,433	0,251	0,142
	FZ_7	6.059	6.268	209	10,5	0,093333333	0,229	0,177	642,786	0,716	112,5	0,538	0,247	0,142
	FZ_8	6.268	6.448	180	-	-	-	-	-	-	83	0,461	0,255	0,132
	FZ_9	6.448	6.554	106	-	-	-	-	-	-	75,25	0,71	0,229	0,144
	FZ_10	6.554	6.585	31	-	-	-	-	-	-	4	0,129	0,235	0,126
	FZ_11	6.585	6.615	30	-	-	-	-	-	-	29,75	0,992	0,241	0,136
	FZ_12	6.615	7.215	600	-	-	-	-	-	-	409	0,682	0,229	0,135
Petra 5	FZ_1	4003	5433	1430	-	-	-	-	-	-	-	-	-	-
	FZ_2	5433	5542	109	43	1	0,101	0,201	10575,286	0,174	43	0,381	0,089	0,204
	FZ_3	5542	5542	173	-	-	-	-	-	-	6	0,061	0,271	0,103
	FZ_4	5715	5768	53	4,5	1	0,077	0,179	883,534	0,434	4,5	0,047	0,077	0,179
	FZ_5	5768	5855	87	21,5	0,488636364	0,133	0,129	47,444	0,69	44	0,370	0,164	0,123
	FZ_6	5855	6087	232	-	-	-	-	-	-	12,5	0,054	0,146	0,117
	FZ_7	6087	6186	99	-	-	-	-	-	-	13,5	0,136	0,143	0,111
	FZ_8	6186	6300	114	-	-	-	-	-	-	21	0,184	0,114	0,114

DISKUSI

FASIES PENGENDAPAN

Fasies pengendapan dapat ditentukan dengan melihat seluruh karakteristik batuan yang terdeposisi seperti kandungan mineral, keterdapatannya fosil, serta struktur penciri

lingkungan pengendapan. Setelah itu akan didapatkan lingkungan pengendapan yang nantinya akan membantu untuk menetapkan fasies pengendapan menggunakan klasifikasi Walker dan James (1992) sebagai acuan menentukan fasies pengendapan secara lebih rinci.



Gambar 11. Karakteristik batuan inti pada sumur Petra-3. Foto batuan inti berdasarkan kenampakan log gamma ray (kiri) serta deskripsi berdasarkan RCA (kanan)

Berdasarkan data karakteristik batuan inti (**Gambar 12**), terlihat batuan secara umum memiliki warna abu abu dengan bentuk butir menyudut hingga sangat menyudut, hal ini menandakan bahwa lingkungan pengendapan memiliki karakteristik lingkungan yang terdapat mahluk hidup serta sedimen tertransportasi tidak jauh dari batuan asal. Sehingga dapat disimpulkan bahwa lingkungan pengendapan Lapangan “PETRA” merupakan lingkungan pengendapan darat yaitu fluvial.

Setelah didapatkan lingkungan pengendapan dilakukan interpretasi untuk menetapkan fasies pengendapan menggunakan klasifikasi Walker dan James (1992) sebagai acuan menentukan fasies pengendapan secara lebih rinci. Pada daerah penelitian terbagi menjadi 4 fasies pengendapan yang terbagi menjadi:

A. Fluvial Channel

Fasies pengendapan Fluvial Channel diinterpretasikan terdapat pada interval FZ_3, FZ_6, dan FZ_7 yang ditandai dengan keterdapatannya bentuk elektrofasies *cylindrical* dan asosiasi fasies SPS (*Shale-Pebble Sandstone*).

A. Fluvial Point Bar

Fasies pengendapan Fluvial Point Bar diinterpretasikan terdapat pada interval FZ_3, FZ_4, FZ_5, dan FZ_6 yang ditandai dengan keterdapatannya bentuk elektrofasies *bell* dan asosiasi fasies FSS (*Fining Shale-Sandstone*).

B. Fluvial Floodplain

Fasies pengendapan Fluvial Floodplain diinterpretasikan terdapat pada interval FZ_6 yang ditandai dengan keterdapatannya bentuk elektrofasies *serrated* dan asosiasi fasies SSS (*Serrated Shale-Sandstone*).

C. Crevasse Splay

Fasies pengendapan Crevasse Splay diinterpretasikan terdapat pada interval FZ_3, FZ_5, FZ_6, dan FZ_7 yang ditandai dengan keterdapatannya bentuk elektrofasies *funnel* dan asosiasi fasies CSS (*Coarsening Shale Sandstone*)

ZONA PROSPEK HIDROKARBON

Pada Lapangan “PETRA” semua sumur yang lolos dari nilai penggal sehingga total sumur yang prospek di Lapangan “PETRA” adalah 5 sumur dengan total pay lapangan adalah 675,75 (**Tabel 2**), dengan zona

hidrokarbon terbesar yang menjadi prospek di Lapangan "PETRA" terdapat pada interval FZ_3, FZ_5 dan FZ_4.

Zona hidrokarbon terbesar yang menjadi prospek di Lapangan "PETRA" terdapat pada interval FZ_3, FZ_5 dan FZ_4 (**Tabel 3**). Pada interval FZ_3, fasies yang dominan berkembang adalah *fluvial channel* dan *crevasse splay* dengan ukuran butir kerakal – lempung yang mengkasar keatas. Pada interval FZ_5, fasies yang dominan

berkembang adalah *fluvial channel* dengan karakteristik litologi batupasir yang tebal. Pada interval FZ_4, fasies yang dominan berkembang adalah *fluvial point bar* dan *crevasse splay* yang memiliki karakteristik litologi batupasir tebal dengan ukuran butir kerakal sampai lempung. Interval FZ_3, FZ_5 dan FZ_4 dengan litologi batupasir tebal memiliki porositas 12,7% – 19,6% yang termasuk dalam klasifikasi sedang – baik.

Tabel 2. Rekapitulasi pay zone Lapangan "PETRA"

Sumur	Interval	Top	Bottom	Pay				Net Pay	Total Net Pay	Net Pay Lapangan
				Vsh (%)	PHIE (%)	Permeability (MD)	SW (%)			
Petra 1	FZ_1	3.929	5.478	28,6	15,1	33,508	69,9	3	233,75	675,75
	FZ_2	5478	5601	27,2	18,5	1676,388	27,3	6,5		
	FZ_3	5601	5696	22,6	15,4	5494,16	38,1	40		
	FZ_4	5696	5752	22,1	16,3	6365,395	34,6	33,75		
	FZ_5	5752	5856	15,9	19,6	1247,831	39,4	65,75		
	FZ_6	5856	5986	27,4	14,4	23,883	69,8	5		
	FZ_7	5986	6148	17,6	17,3	729,272	48,5	50,5		
	FZ_8	6148	6396	13,9	19,4	959,869	61	4		
Petra 2	FZ_12	6632	7066	24,1	13,6	49,967	71,5	25,25	86,5	675,75
	FZ_3	5.563	5.707	25,8	16,7	689,434	35,6	14,5		
	FZ_5	5.769	5.887	28,4	13,4	79,759	63,4	19		
Petra 3	FZ_12	6.666	7.638	25,6	11,1	8,162	72,4	53	130	675,75
	FZ_3	5.486	5.661	26,5	15,1	1090,902	39	67,5		
	FZ_4	5.661	5.730	27,6	13,6	559,369	52,4	30,5		
Petra 4	FZ_5	5.730	5.858	30,5	12,7	99,835	57,3	32	156,5	675,75
	FZ_1	3.973	5.578	32,3	14,2	60,568	50,6	8		
	FZ_2	5.578	5.633	24,2	19,4	30375,392	39,8	7,5		
	FZ_3	5.633	5.711	29,2	13,6	465,527	49,4	61,25		
	FZ_4	5.711	5.791	26,6	15,4	12721,535	45,9	48,25		
Petra 5	FZ_5	5.791	5.864	24,1	13,8	167,587	58,9	21	69	675,75
	FZ_7	6.059	6.268	22,9	17,7	642,786	71,6	10,5		
	FZ_2	5433	5542	10,1	20,1	10575,286	17,4	43		
	FZ_4	5715	5768	7,7	17,9	883,534	43,4	4,5	69	675,75
	FZ_5	5768	5855	13,3	12,9	47,444	69	21,5		

Tabel 3. Rekapitulasi pay zone Interval Lapangan "PETRA", kolom yang di highlight berwarna hijau tua merupakan interval paling prospek.

Sumur	FZ_1	FZ_2	FZ_3	FZ_4	FZ_5	FZ_6	FZ_7	FZ_8	FZ_9	FZ_10	FZ_11	FZ_12
Petra 1	3	6,5	40	33,75	65,75	5	71	4	0	0	0	78,25
Petra 2	0	0	14,5	19	19	0	0	0	0	0	0	0
Petra 3	0	0	67,5	30,5	32	0	0	0	0	0	0	0
Petra 4	8	7,5	61,25	48,25	21	0	10,5	0	0	0	0	0
Petra 5	0	43	0	4,5	21,5	0	0	0	0	0	0	0
Range VSH (%)	28,5 - 32,3	10,1 - 27,2	22,6 - 29,2	7,7 - 27,6	13,3 - 30,5	27,4	17,6 - 22,9	13,9	0	0	0	24,1 - 25,6
Range PHIE (%)	14,2 - 15,1	18,5 - 20,1	13,6 - 16,7	13,6 - 17,9	12,7 - 19,6	14,4	17,3 - 17,7	19,4	0	0	0	11,1 - 13,6
Range Permeability (MD)	33 - 60	1676 - 30375	465 - 5494	559 - 12721	47 - 1247	23	642 - 729	959,869	0	0	0	8 - 49
Range SW (%)	50,6 - 69,9	17,4 - 39,8	35,6 - 49,4	34,6 - 52,4	34,4 - 69	69,8	48,5 - 71,6	74,3	0	0	0	71,5 - 72,4
Total Pay Per Interval	11	57	183,25	136	159,25	5	81,5	4	0	0	0	78,25

HUBUNGAN FASIES PENGENDAPAN TERHADAP HIDROKARBON

Penghubungan fasies pengendapan dengan prospek hidrokarbon pada penelitian dilakukan dengan melihat fasies pengendapan yang merupakan zona hidrokarbon paling prospek yang ada di lapangan "PETRA" yaitu interval FZ_3,

FZ_4 FZ_5.

Pada sumur Petra-1 dan Petra 2 fasies yang dominan berkembang adalah fasies fluvial channel, pada sumur Petra-3 fasies yang dominan berkembang adalah fluvial point bar, dan pada sumur Petra-4 dan Petra-5 fasies yang dominan berkembang adalah fasies crevasse splay.

Tabel 4. Hubungan Karakter Fisik Reservoir dan Fasies Pengendapan dengan Prospek Hidrokarbon

Sumur	Interval	Pay	Fasies Pengendapan	PHIE(%)	SWE(%)	VSH(%)	Permeabilitas
Petra-1	FZ_3	30,5	Fluvial Point Bar	15,6	36,6	21,7	6746,526
		10,55	Fluvial Floodplain	14,7	43,3	28,4	1337,41
		0	Crevasse Splay				Tidak Lelos Lumping
	FZ_4	12,25	Fluvial Point Bar	15,6	33,7	22,9	7123,334
		21,25	Fluvial Channel	16,6	35,3	22,2	6004,206
		34,45	Fluvial Channel	20,8	31,3	14,4	1875,298
Petra-2	FZ_5	30,95	Fluvial Channel	18,4	49,1	17,3	557,673
		0	Crevasse Splay				Tidak Lelos Lumping
		14,5	Fluvial Channel	16,7	35,6	25,8	689,434
	FZ_3	0	Fluvial Channel				Tidak Lelos Lumping
		0	Crevasse Splay				Tidak Lelos Lumping
		0	Fluvial Point Bar				Tidak Lelos Lumping
Petra-3	FZ_4	0	Fluvial Channel				Tidak Lelos Lumping
		16	Fluvial Channel	13,7	62,2	29	93,156
		3	Fluvial Channel	11,7	70,7	25,4	8,309
	FZ_5	0	Crevasse Splay				Tidak Lelos Lumping
		32	Fluvial Channel	15,2	35,8	25,8	1438,541
		4,5	Crevasse Splay	17	25,7	15,5	3116,823
Petra-4	FZ_4	31	Fluvial Point Bar	14,8	44,7	28,8	437,963
		15,25	Fluvial Point Bar	12	60,7	32,7	53,478
		16,5	Fluvial Point Bar	14,7	48,2	23,9	984,904
	FZ_5	29,25	Fluvial Point Bar	12,6	57,3	30,7	75,155
		0	Crevasse Splay				Tidak Lelos Lumping
		0	Fluvial Point Bar				Tidak Lelos Lumping
Petra-5	FZ_3	24,65	Fluvial Channel	14,4	43,1	27,8	451,131
		16,95	Fluvial Point Bar	14,5	46,1	28,2	997,027
		19,65	Crevasse Splay	11,8	63	31,7	24,297
	FZ_4	17	Crevasse Splay	16,4	34,7	23,6	30468,373
		30,45	Fluvial Channel	14,9	51,9	27,8	3147,767
		21	Fluvial Channel	13,8	58,9	24,1	167,587
Petra-5	FZ_5	0	Fluvial Channel				Tidak Lelos Lumping
		0	Crevasse Splay				Tidak Lelos Lumping
		0	Crevasse Splay				Tidak Lelos Lumping
	FZ_4	0	Crevasse Splay				Tidak Lelos Lumping
		4,5	Crevasse Splay	17,9	43,4	7,7	883,534
		21,5	Fluvial Channel	12,9	69	13,3	47,444
	FZ_5	0	Crevasse Splay				Tidak Lelos Lumping
		0	Crevasse Splay				Tidak Lelos Lumping

Tabel 5. Rekapan Fasien Pengendapan yang Tidak Lelos Lumping

Rekapan Tidak Lelos Lumping			
Fasies Pengendapan	Jumlah Keterdapatannya	Tidak Lelos Lumping	Percentase
Crevasse Splay	16	12	75%
Fluvial Floodplain	1	0	0%
Fluvial Point Bar	9	2	22%
Fluvial Channel	14	3	21%

Tabel 6. Rekapan Zona Prospek pada Setiap Fasies Pengendapan

Rekapan Prospek Per Fasies Pengendapan			
Fasies Pengendapan	Nilai Pay (Feet)	Total Pay (Feet)	Percentase
Crevasse Splay	45,65	457,65	10%
Fluvial Floodplain	10,55		2%
Fluvial Point Bar	151,7		33%
Fluvial Channel	249,75		55%

Penghubungan fasies pengendapan dengan prospek hidrokarbon pada interval FZ_3, FZ_4, dan, FZ_5 menunjukan adanya pengaruh fasies pengendapan terhadap prospek hidrokarbon. Karena setiap fasies pengendapan akan memberikan karakter reservoir yang berbeda yang akan mempengaruhi zona produksi hidrokarbon. (Tabel 5 dan Tabel 6)

KESIMPULAN

Lapangan "PETRA" memiliki prospek hidrokarbon dengan total pay lapangan sebesar 675,75ft dengan sumur yang memiliki prospek terbesar di Lapangan "PETRA" terdapat pada sumur PETRA-1 dengan total pay 233,75ft, PETRA-4 dengan total pay 156,5ft, dan PETRA-3 dengan total pay 130ft. Zona hidrokarbon terbesar yang menjadi prospek di Lapangan "PETRA" terdapat pada interval FZ_3 dengan total pay 183,21ft, FZ_5 dengan total pay 158,25 ft, dan FZ_4 dengan total pay 136ft.

Berdasarkan hasil penelitian, fasies pengendapan dengan prospek hidrokarbon terbaik pada lapangan "PETRA" adalah fasies pengendapan fluvial channel yang memiliki daerah pay sebanyak 249,75ft atau 55% dari zona hidrokarbon yang paling prospek di lapangan penelitian diikuti oleh fasies pengendapan fluvial point bar yang memiliki daerah pay sebanyak 151,7ft atau 33% dari zona hidrokarbon yang paling prospek di lapangan penelitian. Sementara, fasies pengendapan dengan prospek hidrokarbon yang buruk pada lapangan "PETRA" adalah fasies pengendapan crevasse splay yang memiliki daerah pay sebanyak 45,65ft atau 10% dari zona hidrokarbon yang paling prospek di lapangan

penelitian dan juga fasies pengendapan fluvial floodplain yang memiliki daerah pay sebanyak 10,55ft atau 2% dari zona hidrokarbon yang paling prospek di lapangan penelitian.

UCAPAN TERIMA KASIH

Ucapan terimakasih penulis sampaikan kepada PT. Pertamina Hulu Rokan yang telah memberikan data, perizinan, dan kesempatan kepada penulis dalam penelitian ini.

DAFTAR PUSTAKA

- Aljuboobi, F.A., Lee, J.H., Elraies, K.A., & Stephen, K.D. (2021). Using statistical approaches in permeability prediction in highly heterogeneous carbonate reservoirs. *Carbonates and Evaporites*, 36(1), 87.
- Andriyani, F. (2022). Study and Rock Type Determination of Siliciclastic Reservoir: Case Study Sand of Bekasap Formation, AF Field, Central Sumatra Basin, Indonesia. *Journal of Applied Geology*, Universitas Gadjah Mada.
- Arif, F., & Halim, S. (2022). *Heavy Oil Potentials in Central Sumatra Basin, Indonesia*. International Journal of Science and Technology.
- Asquith, G., & Krygowski, D. (2004). Basic Relationships of Well Log Interpretation. In *Basic Well Log Analysis*, AAPG Methods in Exploration (Series 16). Tulsa, Oklahoma: AAPG.
- Dawson, W. C., Almon, W. R., & Sangree, J. B. (2011). *Petroleum System and Miocene Sequence Stratigraphy: Central Sumatra Basin, Indonesia*. Indonesian Petroleum Association.
- Eubank, R. T., & Makki, A. C. (1981). *Structural Geology of the Central*

- Sumatra Back-Arc Basin. Indonesian Petroleum Association 10th Annual Convention.
- Harjumi, Makhrani, & Aswad, S. (2021). Penentuan permeabilitas menggunakan metode regresi untuk manajemen reservoir yang efektif. *Jurnal Geofisika Indonesia*, 13(2), 45-56.
- Heidrick, T., & Aulia, K. (1993). A Structural And Tectonic Model Of The Coastal Plains Block, Central Sumatra Basin, Indonesia. Indonesian Petroleum Association 22nd Annual Conference And Exhibition
- Longley, I. et al. (2021). Pematang Lacustrine Petroleum Source Rocks from the Malacca Strait PSC, Central Sumatra, Indonesia. *Journal of Petroleum Geology*, 44(1), 67-84.
- Lu, P., & Jiao, Z.-S. (2022). A Review of Permeability Prediction Techniques for Tight Sandstone Reservoirs. In SpringerLink.
- Muflikhah. (2023). Fasies dan Model Lingkungan Pengendapan Formasi Bampo dan Peutu Area "MFL", Cekungan Sumatera Utara. Skripsi, Universitas Gadjah Mada.
- Nainggolan, T.B., U. Nurhasanah, & I. Setiadi. 2021. Depositional sequence using seismic and well data of offshore Central Sumatera Basin. IOP Conference Series: Earth and Environmental Science, 944.
- Schenk, C. J., Charpentier, R. R., Klett, T. R., Tennyson, M. E., Mercier, T. J., Brownfield, M. E., Pitman, J. K., Gaswirth, S. B., & Leathers-Miller, H. M. (2015). Assessment of shale-oil resources of the Central Sumatra Basin, Indonesia, 2015. U.S. Geological Survey Fact Sheet 2015-3072.
- SKKMIGAS. Produksi Minyak di Indonesia. Diakses pada Juli 2, 2024, dari <https://www.skkmigas.go.id/>
- Sudarman, J. (2021). Unconventional Resources of Shale Hydrocarbon in Sumatra Basin, Indonesia. IntechOpen
- Utama, S. E., & Setyowiyoto, J. (2021). Lingkungan Pengendapan dan Siklus Stratigrafi Formasi Menggala, Lapangan Sakai, Cekungan Sumatera Tengah. Skripsi, Universitas Gadjah Mada.
- Walker, R., & James, N. (1992). Facies Model:Response to Sea Level Change. Ottawa: Geological Association of Canada. P157-195.
- Simandjuntak, T.O. (1986). Sedimentology and tectonics of the collision complex of the East arm of Sulawesi, Indonesia. Ph.D. Thesis, Royal Holloway and Bedford New College, London University, 374 p.
- Van Bemmelen, R. W. (1949). The Geology of Indonesia. General Geology of Indonesia and Adjacent Archipelagoes. Government Printing Office, The Hague, hal. 1–766.